

(84) 水素還元における 910°C 付近の生成鉄層の焼結性

金属材料技術研究所

大場 章 清水治郎

1. 緒言 繊密な塊状酸化鉄のガス還元における、反応後期の還元速度の停滞が著しく、これは還元生成物の形態も影響していると考えられる。また先に筆者らは酸化鉄の加圧水素還元において、 900°C で加圧の効果が停滞する傾向を認めたので、今回は還元生成層の焼結性に着目して、これが還元条件によつてどのように変るかについて、とくに還元温度 910°C を中心とした検討を試みた。

2. 実験方法 供試料は試薬特級 Fe_2O_3 を、所定の条件で圧縮成形後焼成を行つた均一な気孔分布をもつた円柱状タブレット ($10 \text{ mm} \phi \times 8 \text{ mm}^t$, 約 3.0 g/個) およびディスク状タブレット ($11 \text{ mm} \phi \times 1 \text{ mm}^t$, 約 0.34 g/個) である。還元は加圧式鼓天秤により円柱状タブレットでは 1 個、ディスク状タブレットでは 5 個を用いた。

還元産物の性状調査は、ガスクロマトグラフを利用して連続流通法による表面積測定装置により試料の内部表面積を、また走査型電子顕微鏡により表面観察を、水銀圧入式ポロメーターにより試料の細孔分布を測定して行った。

3. 実験結果 円柱状タブレットを用い、所定の条件で還元した試料の表面積、細孔分布の測定結果を表 1 および図 1 に示す。すなはち比表面積は 900°C 還元試料では、1 atm より 15 atm の方が 20% ほど大きかったのに對し、 930°C 還元では両者に大きな差は認められなかつた。また細孔分布を比較してみると、 900°C では 1 atm と 15 atm に $1 \mu\text{m}$ 程度の孔径で大きな差異があるのに對し、 930°C におけるそれでは、 900°C にみられるような顕著な差異は認められなかつた。

Birchenall ¹⁾ および Buffington ²⁾ は、α および γ 鉄の自己拡散定数の測定を行い、 910°C 附近における $D_{\alpha} \sim 10^{-11}$, $D_{\gamma} \sim 10^{-13} (\text{cm}^2/\text{sec})$ を得てあり、一般に粉末冶金の場合でも A_3 変態点附近において、α 相領域の方が密度の高い金属粒子を得られることは周知の通りであり、前記の焼結の現象は十分肯定できるものと考えられる。

筆者らは酸化鉄の加圧水素還元における、 900°C における加圧の効果が、とくに緻密な試料における他の還元温度領域におけるよりも小さることを報告した。³⁾ 本実験からも生成した鉄層の焼結が α 相でより大きくなることが、 A_3 変態直下の温度での加圧還元における、とくに生成鉄層の焼結が粗大化するガス拡散抵抗を大きくするものと予想され、加圧の効果が他の温度より減退する原因の一つと考えられる。

さらに酸化鉄の成因や生成物の影響についても報告する。

Table 1 Surface area of tablets under various condition of hydrogen reduction

Press.	Temp/°C	900	930
1 atm		$7.35 \times 10^{-2} \text{ m}^2 \text{g}^{-1}$	$6.96 \times 10^{-2} \text{ m}^2 \text{g}^{-1}$
15 atm		$5.91 \times 10^{-2} \text{ m}^2 \text{g}^{-1}$	$6.77 \times 10^{-2} \text{ m}^2 \text{g}^{-1}$

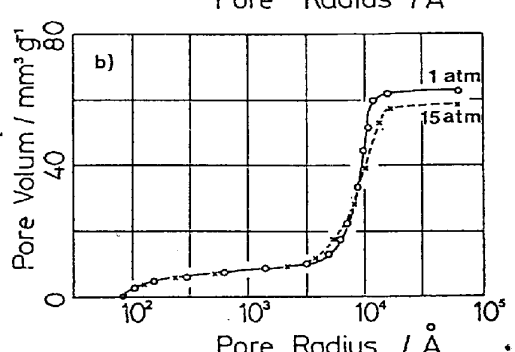
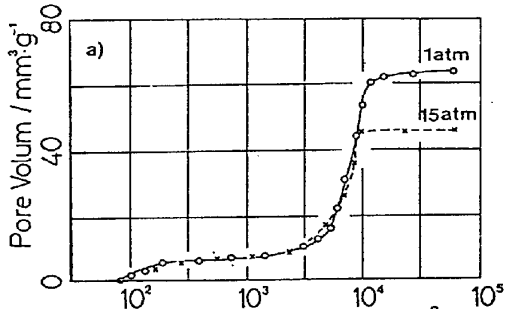


Fig. 1 Pore size distribution of reduced tablets
a) 900°C b) 930°C

1) Trans. AIME, 188 (1950), 144.

2) Acta Metallurgica 9 (1961), 434.

3) 鉄と鋼 61 (1975), S 369.